

これらのデータをもとにパワースペクトルを求めた結果を図3に示す⁴⁾。図3の一点鎖線で車両の標準入力としての路面凹凸分類のISOの素案を示す。この素案に対して山川らは、テストコース及び石神高速道路の路面パワースペクトルとあてはめて、概ね妥当であろうとしている。図3からわかるように全般に一点鎖線は勾配を緩くとりすぎているように思われること、低周波数域ではISOの素案とは逆にねてくることの原因により、筆者らの分類線を図中に破線で示した。この分類は舗装路を対象としたもので、極悪、悪、普通、良、の4分類とした。このような分類に際しては、その評価基準となる乗り心地、疲労限界のデータが必要になるが、これについての適当な資料がないのでISOとの対応で線を引き出したことを一言しておく。将来これについてのデータがそろえば修正し、路面の採択基準に盛りこむようにしたい。

4. 自動車荷重の測定結果

自動車荷重は文献⁵⁾によれば近似的に次式で求められる。

$$Pr = m_{ir} \ddot{z}_{ir} + f_{21,r}$$

ここで Pr : ある期の右車輪の自動車荷重, m_{ir} : 同左のバネ下質量

\ddot{z}_{ir} : m_{ir} の加速度,

$f_{21,r}$: バネ上質量とバネ下質量間に作用する力

この式に従って、自動車荷重の実態を調査した。

結果の一例を図4に示す。パワースペクトルで整理すると図5のようになる。これから最大値は、バネ上共振点の2%付近に生ずることがわかる。図5の上半部の波形は、そのときの自動車荷重の波形を示す。なお静荷重は約4.8tである。

r.m.s値で整理すると、r.m.s値/静荷重比で前輪では10~20%、後輪では10~30%となる。従来いわれていたように前輪の方が後輪における増幅度より大きいという結果とならなかった。なお、図5のr.m.s値は0.94tでありピーク値は6t位である。

参考文献

- 1) 成田・池村: 第28回土木学会年次講演会概要, 才IV部
- 2) 成田・池村: 路面の凹凸と自動車荷重(II), 工研資料 No. 800
- 3) 橋倉・杉本: 自動車の振動測定
- 4) 川合・森崎: 自動車走行路面の性質と振動乗り心地への関連性
- 5) H.R.B. No. 105: Dynamic Pavement Loads of Heavy Highway Vehicles

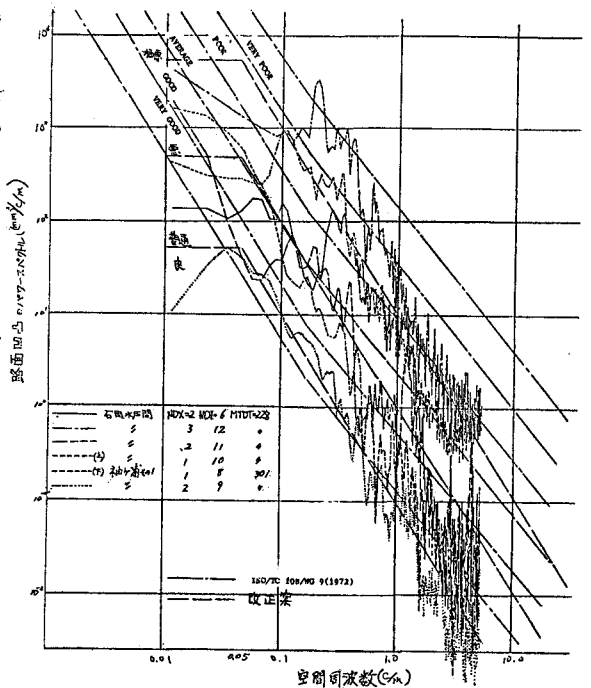


図3 路面凹凸のパワースペクトル

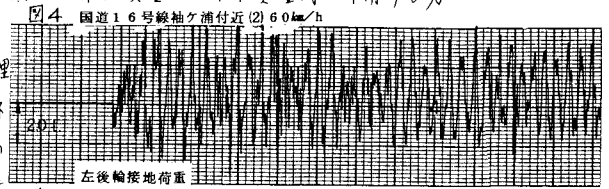


図4 国道16号線軸ヶ浦付近(2) 60 km/h

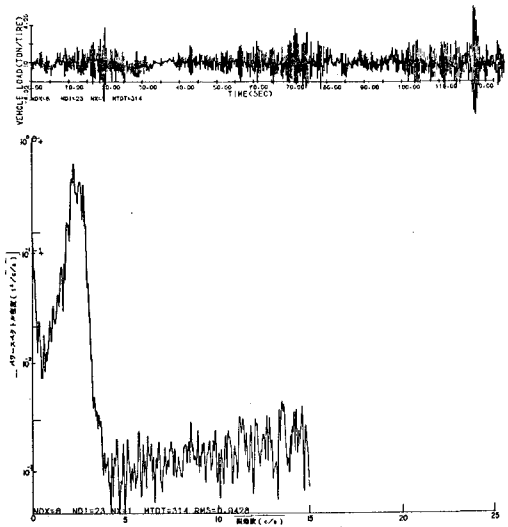


図5 自動車荷重のパワースペクトル